

بررسی تحلیلی قفل شدگی تشدید در سیستم‌های نامیزان دوار و اثر یک نامیزانی دوار آزاد بر رفتار سیستم

سیروان فرهادی (استادیار)

دانشکده‌ی هندسی مکانیک، دانشگاه کودستان، سمندج

مهمنگی مکانیک شرتف، (همار ۱۳۹۶)، دوری ۳، ۳، ۱، ص. ۳۵۷

در سیستم‌های دوار با پایه‌ی کشسان، نامیزانی سیستم باعث ارتعاشات پایه می‌شود. این ارتعاشات نیز موجب اعمال یک گشتاور نوسانی به روتور و نوسانی شدن سرعت دوران می‌شود. بنابراین یک سازوکار انعکاسی شکل می‌گیرد که می‌تواند رفتاری غیرخطی با طیف متفاوتی از پاسخ‌ها را به نمایش بگذارد. در مجاورت بسامد طبیعی، ارتعاشات بزرگ پایه موجب افزایش چشمگیر توان مصرفی می‌شود و از افزایش سرعت روتور جلوگیری می‌کند. در این حالت ممکن است سیستم توان کافی برای گذر از تشدید را نداشته و دچار قفل شدگی تشدید شود. در این توپولیت پیشنهاد شده است به منظور ایجاد اغتشاش در شکل گیری سازوکار قفل شدگی، یک نامیزانی آزاد به سیستم اضافه شود. برای بررسی کارایی این روش، معادلات دینامیکی سیستم استخراج شده و به روش هارمونیک بالاتس و روش عددی حل شده است. نتایج به دست آمده نشان می‌دهد با افزودن یک نامیزانی آزاد، می‌توان محدوده قفل شدگی و امکان گذراز آن را بهبود داد.

s.farhadi@uok.ac.ir

واژگان کلیدی: نامیزانی دوار، قفل شدگی تشدید، دیسک الحاقی نامیزان.

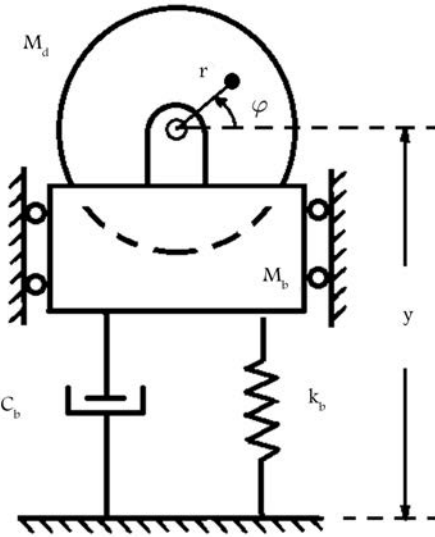
۱. مقدمه

پدیده‌ی قفل شدگی تشدید توسط پژوهش‌گران مختلفی مورد مطالعه قرار گرفت و از جمله‌های مختلف، دینامیک سیستم و روش پایدارسازی آن بررسی شده است. راند و همکاران^[۱] معادلات دینامیکی یک سیستم دوار نامیزان را که روی پایه‌ی کشسان قرار دارد و با یک گشتاور محدود و معین راند می‌شود، استخراج کردند و با استفاده از روش‌های نظریه‌ی اغتشاش، دینامیک سیستم را مورد مطالعه قرار دادند. دایمتربگ و همکاران^[۲] یک روش عددی برای حل معادلات غیرخطی مربوط به سیستم‌های دوار نامیزان با گشتاور محدود ارائه دادند و رفتار گذرازی مربوطه را مطالعه کردند. هابرمان و همکاران^[۳] معادلات دینامیکی حاکم بر سیستم‌های دوچرخی^۱ (سیستم‌های شامل دو جسم دوار با سرعت‌های دواران متفاوت روی یک محور مشترک) را ارائه کردند و با روش میانگین‌گیری آن را مورد مطالعه قرار دادند. زینبر و کوین^[۴] قفل شدگی تشدید در سیستم‌های سه درجه آزادی میرا را با روش‌های تجربی و تحلیلی بررسی کردند. کوین^[۵] ابتدا عدم تقارن محور دوران، گشتاور اعمالی و میرایی سیستم را بر روی قفل شدگی تشدید در محورهای دوار نامیزان، و نیز شرایط اولیه مناسب برای شکل‌گیری قفل شدگی را بررسی کرد. گونز و همکاران^[۶] از جاذبهای ارتعاشی برای سرکوب تشدید در سیستم‌های دوار چند درجه آزادی استفاده کردند. فلیکس و همکاران^[۷] نیز با استفاده از مواد ویسکوالاستیک غیرخطی با خصوصیات متغیر زمانی یک جاذب ارتعاشی برای سیستم‌های ارتعاشی غیرایده‌آل با اثرات سامرفلد، قفل شدگی فرکانسی و پدیده‌ی جهش طراحی کردند.

در میان محققین داخلی نیز تحقیقات زیادی در زمینه‌ی رفتار دینامیکی

نامیزانی سیستم‌های دوار می‌تواند باعث ایجاد نیروهای نوسانی و درنتیجه ارتعاش در سیستم شود. معادلات خطی مربوط به این پدیده در تمام کتاب‌های کلاسیک نظریه‌ی ارتعاشات ارائه شده و مورد مطالعه قرار گرفته است. هنگامی که سرعت دوران روتور با بسامدهای طبیعی آن برابر می‌شود، پدیده‌ی تشدید (رزوئنس) روی می‌دهد و دامنه‌ی ارتعاشات سیستم وارد محدوده‌ی خطرناکی می‌شود که ممکن است به شکست و تخریب ماشین منجر شود. برای جلوگیری از این موضوع عمولاً سرعت دوران سیستم در مقادیری بالاتر از بسامد طبیعی تنظیم می‌شود. اما در ماشین‌هایی که توان محدودی دارند، افزایش سریع سرعت ماشین ممکن نیست و حرکت زاویه‌یی دارای شتاب کوچکی است. در این حالت ممکن است سیستم مدتی طولانی در محدوده‌یی نزدیک به سرعت بحرانی قرار گیرد و دچار تشدید شود و دامنه‌ی ارتعاشات آن به مقادیر بزرگی برسد. در این زمان ارتعاشات محور دوران سیستم حول مرکز جرم آن که خارج از محور دوران قرار دارد، یک گشتاور میراگر ایجاد می‌کند که مانع سرعت‌گیری سیستم می‌شود و آن را در محدوده‌ی تشدید نگه می‌دارد؛ این پدیده را «قفل شدگی تشدید» می‌نامند. در این حالت انرژی موقور که باید صرف افزایش سرعت دوران آن شود، توسط ارتعاشات سیستم مستهلك می‌شود. این پدیده سال‌ها پیش و نخستین بار توسط سامرفلد^[۸] مشاهده شد و در سال‌های بعد معادلات ریاضی آن توسط کوننکو^[۹] حل و توصیف شد.

تاریخ: دریافت ۲۲/۱/۱۳۹۴، اصلاحیه ۵/۱۰، پذیرش ۲۶/۱۰/۱۳۹۴.



شکل ۱. دیسک دور نامیزان روی پایه‌ی صلب با تکیه‌گاه کشسان.

روی این بلوک یک موتور قرار گرفته و یک دیسک نامیزان نیز به موتور وصل شده است. دیسک دارای جرم M_d است و مرکز جرم آن به فاصله r از محور دوران قرار دارد و گشتاور ثابت T از طرف موتور به آن اعمال می‌شود تا شروع به دوران کند. فرض می‌شود که موتور دارای ضریب میرایی ویسکوز c_m در پاتاقان‌های خود باشد. به دلیل نامیزانی دیسک، دوران موتور موجب ارتعاشات پایه شده و این ارتعاشات باعث اعمال یک گشتاور مخالف به دیسک می‌شود. در غیاب بار خارجی انتظار می‌شود که با اعمال گشتاور ثابت T به دلیل وجود میرایی ویسکوز در پاتاقان‌ها، سرعت دوران موتور به یک مقدار ثابت میل کند و در آن سرعت ثابت باقی بماند. اما در این مسئله به دلیل حضور گشتاور خارجی ناشی از ارتعاشات پایه، به ازای یک گشتاور اعمالی، ممکن است سرعت‌های متفاوتی وجود داشته باشد که واسطه به دامنه و سرعت ارتعاشات پایه‌اند. از طرف دیگر، ارتعاشات پایه نیز واسطه به سرعت دوران موتور است. برای درک رفتار دینامیکی این سیستم، مدل ریاضی آن را استخراج کرده و مورد تحلیل قرار می‌دهیم. در این مدل‌سازی فرض برآن است که جرم بخش دوران موتور روی دیسک و جرم بخش غیر دور آن روی پایه توزیع شده باشد. برای نوشت معادلات تعادل دینامیکی سیستم، لازم است ابتدا شتاب مرکز جرم دیسک و نیز مرکز جرم پایه محاسبه شود. با توجه به شکل ۱، شتاب مرکز جرم پایه و دیسک به ترتیب برابرند با:

$$\vec{a}_b = \ddot{y} j$$

$$\vec{a}_d = (-r\dot{\varphi} \cos(\varphi) - r\dot{\varphi}' \sin(\varphi)) i + (\ddot{y} + r\ddot{\varphi} \cos(\varphi) - r\ddot{\varphi}' \sin(\varphi)) j \quad (1)$$

که در آن φ زاویه‌ی دوران دیسک و ϑ وزیرتیب بردارهای یکه در راستای افقی و قائم هستند. درنتیجه با استفاده از قانون دوم نیوتون و با توجه به نیروهای تکیه‌گاهی، معادله‌ی حرکت در راستای قائم را می‌توان چنین نوشت:

$$m_b \ddot{y} + c_b \dot{y} + k_b y + m_d (\ddot{y} + r\ddot{\varphi} \cos(\varphi) - r\ddot{\varphi}' \sin(\varphi)) = 0 \quad (2)$$

از طرفی براساس مفاهیم پایه‌ی دینامیک اجسام صلب، برآیند گشتاورهای وارد بر مرکز دیسک برابر است با:

$$\sum \vec{M}_C = \bar{J} \ddot{\varphi} + \vec{r} \times m_d \vec{a}_d \quad (3)$$

سیستم‌های دوران و پایداری آنها [۱۱، ۱۰] صورت گرفته است، اما به نظر می‌رسد در زمینه‌ی قفل‌شدنی تشدید و کشتل آن در سیستم‌های دوران نامیزان، تاکنون کاری در داخل کشور انجام نشده است.

در این تحقیق یک سیستم ارتعاشی با توان محدود در نظر گرفته می‌شود که روی یک پایه‌ی کشسان قرار دارد و توسط یک گشتاور معین راه اندازی می‌شود. فرض می‌شود که سیستم نامیزانی دارد و به هنگام راه اندازی سیستم ممکن است پدیده‌ی قفل‌شدنی تشدید رخ بدهد. در ادامه، معادلات غیر خطی دیفرانسیل حرکت استخراج می‌شود. سپس با استفاده از حل متناوب (به روش هارمونیک بالاگس)، و با کمک پاره‌بی از فرضیات ساده‌گذارنده، دینامیک مسئله مورد بررسی قرار می‌گیرد و محدوده‌ی که در آن امکان قفل‌شدنی وجود دارد، تعیین می‌شود. خاطرنشان می‌سازد از روش هارمونیک بالاگس برای تحلیل دینامیکی سیستم‌های متناوب استفاده می‌شود؛ در این مسئله به دلیل ماهیت تناوبی سازوکار قفل‌شدنی، توصیف مناسبی از دینامیک مسئله اراده می‌شود.

اگرچه می‌توان با بالاگس کردن سیستم‌های دوران احتمال قفل‌شدنی تشدید و دیگر آسیب‌های جانبی را حذف کرد، اما این تغییر همیشه کارساز نیست. زیرا در پاره‌بی از سیستم‌ها، نابالانسی مقداری مشخص و ثابت نیست و با تغییر شرایط کاری تغییر می‌کند یا در طول زمان و به دلیل عواملی مانند گرد و خاک و رسوب‌گذاری شکل گرفته و توسعه می‌یابد. درنتیجه استفاده از روش‌های جایگزین نیز باید مورد مطالعه قرار گیرد.

برای برهم زدن پدیده‌ی قفل‌شدنی می‌توان از اعمال ضربه یا نیروهای ناهمسان با آهنگ حرکت، استفاده کرد. این کار باعث جهش سیستم به سمت پاسخ با دامنه‌ی کمتر می‌شود. در این صورت با کاهش دامنه‌ی ارتعاش، انرژی مصرف شده توسط سازوکارهای ارتعاشی شدیداً کاهش می‌یابد و این فرستاد فراهم می‌شود که توان موتور صرف افزایش سرعت روتور و دور شدن از محدوده‌ی قفل‌شدنی تشدید شود.

در این تحقیق، پیشنهاد می‌شود برای تأثیرگذاری بر دینامیک سیستم، یک دیسک نامیزان دیگر، که روی یک محور آزاد قرار دارد و می‌تواند آزادانه بچرخد، به مجموعه افزوده شود. هنگامی که دیسک نامیزان اصلی شروع به دوران می‌کند، موجب تحریک دیسک پایه و ارتعاش آن می‌شود. ارتعاش پایه نیز به نوبه‌ی خود موجب تحریک دیسک نامیزان آزاد شده و آن را به حرکت درمی‌آورد. در این صورت حرکات دیسک الحاقی نیز بر حرکات پایه تأثیر می‌گذارد و دینامیک مجموعه را تحت تأثیر قرار می‌دهد.

بسه به شرایط اولیه و دامنه‌ی جایه‌جایی پایه، دیسک الحاقی ممکن است تنها حول محور خود نوسان کند یا آن که با سرعت ثابت یا متغیر شروع به دوران کند. در این تحقیق چگونگی تأثیرگذاری دیسک الحاقی بر دینامیک سیستم به صورت تحلیلی و عددی مورد بحث قرار گرفته است. نتایج به دست آمده با استفاده از حل عددی معادلات دیفرانسیل صحجه‌گذاری می‌شود.

نتایج این تحقیق را می‌توان برای کفسورها و دیگر ماشین‌های دورانی که روی یک فونداسیون با پایه‌های کشسان قرار گرفته‌اند، به کار گرفت. بدینهی است برای ارزیابی کارایی روش پیشنهادی روی سیستم‌های پیچیده‌تر، تحقیقات بیشتری باید انجام شود.

۲. فیزیک مسئله و معادلات حاکم

در شکل ۱، یک بلوک صلب به جرم M_b نشان داده شده که حرکات آن به وسیله‌ی یک فشر با ضریب سختی k_b و یک میراگر با ضریب ویسکوزیته c_b محدود شده

تقریباً ثابتی بچرخد و دامنهٔ نوسان‌های آن ناچیز باشد:

$$\cos(\varphi) \approx \cos(\omega t), \quad \sin(\varphi) \approx \sin(\omega t) \quad (6)$$

در نهایت، با استفاده از روش‌هایی همچون اوپلر مرتبه اول و با کمک روش تعقیب، دستگاه معادلات جیری به دست آمده به ازای مقادیر مختلف گشتاور ورودی T حل می‌شود. در ابتدا برای صحنه‌گذاری مدل سازی انجام گرفته و کدهای نرم‌افزاری تهیه شده، مقایسه‌ی با مطالعات پیشین^[۱۲] صورت گرفته است. مقایسه‌ی صورت گرفته به ازای مقادیر عددی زیر است:

$$M_b = ۰,۰۶۴ \text{ kg}, \quad M_d = ۰,۰۰۲۱ \text{ kg},$$

$$k_b = ۱۴۲,۷۷ \text{ N/m}, \quad c_b = ۰,۰۱ \text{ N.s/m},$$

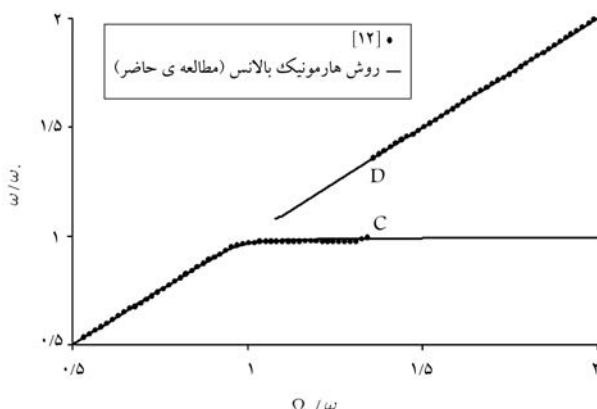
$$r = ۰,۰۰۳ \text{ m}, \quad T = ۱۰^{-۵} \text{ N.m},$$

$$J_C = J_0 + M_d r^2, \quad J_0 = ۱۰^{-۷} \text{ N.m}^۴$$

در مطالعه‌ی مذکور^[۱۲] ضریب میرای دورانی دیسک برابر $c_m = T/\Omega$ قرار داده شده که در آن Ω سرعت مورد انتظار برای دوران دیسک در صورت عدم رخداد ارتعاش است و به عنوان پارامتر مورد مطالعه اختحاب شده است. در این مرجع روابط دینامیکی حاکم بر مسئله با فرض شرایط اولیه صفر به صورت عددی حل شده، و سرعت نهایی دوران (ω) به ازای مقادیر مختلف Ω تعیین شده است. بدینهی است با افزایش مقدار Ω ، ضریب میرایی $c_m = T/\Omega$ کاهش می‌یابد و به دلیل افزایش شتاب زاویه‌ی دیسک، احتمال گریز از سازوکار قفل‌شدنگی افزایش می‌یابد.

در شکل ۲ نتایج حاصل از مطالعه‌ی حاضر را در مقایسه با نتایج مطالعه‌ی پیشین^[۱۲] نمایش داده شده است. در این شکل $\omega/k_b/(M_b + M_d) = \sqrt{k_b/(M_b + M_d)} = \omega$ برابر با بسامد طبیعی نوسان است. چنان‌که مشاهده می‌شود با افزایش Ω (کاهش c_m) در حد فاصل نقاط C و D سیستم از حالت قفل‌شدنگی فرکاسی عبور کرده و به سرعت بالاتری جهیده است. شکل ۲ نشان می‌دهد پاسخ‌های به دست آمده از روش هارمونیک بالا انس اختلاف بسیار کمی با نتایج آن مطالعات^[۱۲] دارد. قابل ذکر است در مرجع مذکور نتایج عددی تنها برای حالت گشتاور ثابت و شرایط اولیه صفر تعیین شده است، حال آن که با تغییر این شرایط احتمال رخدادن قفل‌شدنگی در مقادیر دیگر Ω نیز متغیر نیست.

در ادامه برای بررسی سازوکار قفل‌شدنگی فرکاسی حل‌های عددی مختلفی انجام شده است. در حل‌های عددی که در پی می‌آید، جرم موتور ناچیز فرض شده، و در تعریف نامیزانی دیسک نیز فرض بر آن است که خود دیسک دارای جرم m_1



شکل ۲. سرعت دورانی واقعی در مقایسه با سرعت دورانی مورد انتظار.

که در آن \bar{J} گشتاور قطبی جرم حول مرکز دیسک و \bar{T} بردار موقعیت مرکز جرم دیسک نسبت به مرکز هندسی آن است. رابطه‌ی ۳ پس از پاره‌یی عملیات جیری ساده می‌شود به:

$$J_C \ddot{\varphi} + c_m \dot{\varphi} + m \bar{a} \ddot{\varphi} \cos(\varphi) - T = ۰ \quad (4)$$

که در آن $J_C = \bar{J} + M_d r$ گشتاور قطبی جرم حول مرکز جرم دیسک است. رابطه‌های ۲ و ۴ یک دستگاه معادلات دیفرانسیل غیرخطی را تشکیل می‌دهند که حل دقیق آن عملای غیرممکن است و برای به دست آوردن حل تقریبی آن از فرضیات ساده کننده‌ی استفاده خواهد شد.

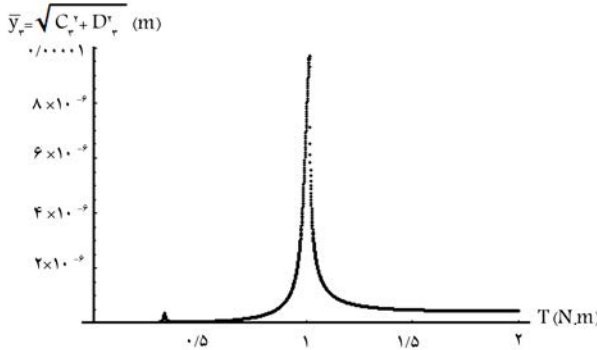
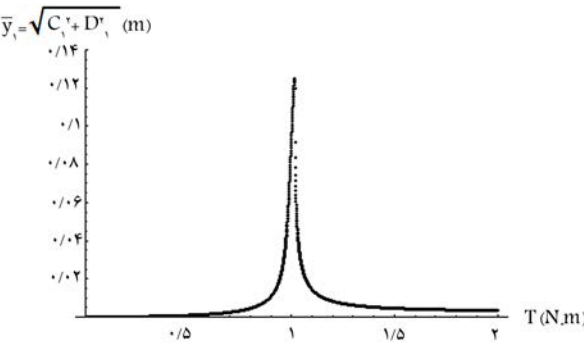
۳. حل هارمونیک

نتایج عددی نشان‌گر آن است که با اعمال یک گشتاور مشخص، به مرور زمان ارتعاشات سیستم به یک حالت پایدار با دوره‌ی تناوب و دامنه‌ی ثابت می‌رسد، اما لزوماً نمی‌توان شکل جواب‌ها را هارمونیک در نظر گرفت. برای بررسی رفتار سیستم در حالت پایدار، می‌توان از روش هارمونیک بالا انس استفاده کرد که یکی از روش‌های حل معادلات دیفرانسیل غیرخطی زمانی برای یافتن جواب‌های متناوب سیستم است. در این روش با فرض پایداری و متناوب بودن پاسخ سیستم، ابتدا آن را با یک سری فوریه تقریب می‌زنند. سپس تابع تقریب را در معادله‌ی دیفرانسیل حرکت جایگذاری می‌کنند و پس از تغییر فرم جملات مرتبه بالای توابع مثلثاتی به عبارت‌های با توان مرتبه ۱، دو طرف معادله دیفرانسیل را بر حسب ضرایب توابع مثلثاتی مرتب می‌کنند. در نهایت با مساوی هم قرار دادن ضرایب توابع مثلثاتی متناوب در دو سوی معادله، دسته‌یی از معادلات جیری به دست می‌آید که با حل آنها، ضرایب مجھول سری فوریه محاسبه می‌شود. از آنجا که سری فوریه‌ی کامل دارای بی‌نهایت عبارت است، اعمال روش هارمونیک بالا انس منجر به ایجاد بی‌نهایت معادله‌ی جیری وابسته می‌شود که عملای حل آنها ممکن نیست. از این رو برای حل عددی مسئله، تابع تقریب به صورت یک سری فوریه‌ی محدود در نظر گرفته می‌شود، تا تعداد معادلات جیری به دست آمده در حد معقولی باقی بماند. برای حل تحلیلی معادله‌های ۲ و ۴ ابتدا پاسخ دستگاه مطابق روابط ۵ در نظر گرفته شده است:

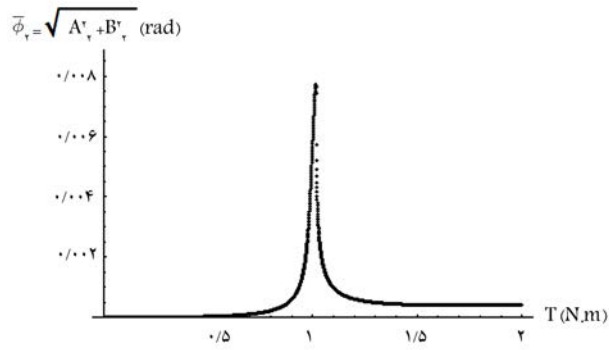
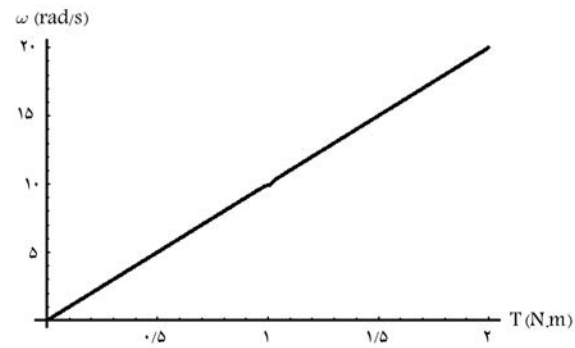
$$\begin{aligned} \varphi = & \omega t + A_1 \sin(\omega t) + B_1 \cos(\omega t) + A_2 \sin(2\omega t) + B_2 \cos(2\omega t) \\ & + A_3 \sin(3\omega t) + B_3 \cos(3\omega t) + \dots \end{aligned}$$

$$\begin{aligned} y = & y_0 + C_1 \sin(\omega t) + D_1 \cos(\omega t) + C_2 \sin(2\omega t) + D_2 \cos(2\omega t) \\ & + C_3 \sin(3\omega t) + D_3 \cos(3\omega t) + \dots \end{aligned} \quad (5)$$

که در آن ω سرعت متوسط دوران دیسک و y جابه‌جای متوسط پایه است. در این پاسخ فرض بر آن است که با دوران دیسک و به دلیل نامیزانی آن، پایه نیز به ارتعاش درمی‌آید و ارتعاش پایه نیز به نوبه‌ی خود سرعت دوران را تحت تأثیر سرعت متوسط دوران دیسک یعنی ω است و با فرض متناوب بودن پاسخ، می‌توان دوره‌ی تناوب نوسان‌ها را برابر $\pi/2\omega$ در نظر گرفت. سپس با استفاده از روش هارمونیک بالا انس دستگاه معادلات دیفرانسیل ۲ و ۴ تبدیل به یک دستگاه معادلات جیری شده است. در این بخش برای اجرای روش هارمونیک بالا انس، و با فرض این که دیسک با سرعت



شکل ۴. دامنه ای ارتعاشات پایه بر حسب گشتاور موتور ($m_1 = 0,05 \text{ kg}$).



شکل ۳. سرعت دوران دیسک و دامنه نوسان سرعت بر حسب گشتاور موتور ($m_2 = 0,05 \text{ kg}$).

که مشاهده می شود، پایه می تواند در بسامد طبیعی سیستم و نیز یک سوم بسامد طبیعی که بکی از زیرهارمونی های سیستم است، دچار تشید شود. اما دامنه نوسان \bar{y}_2 در زیرهارمونی $= 3,33 \text{ rad/s}$ ناچیز است. این بدان معناست که می توان رفتار سیستم را تا حدود زیادی مشابه ارتعاشات خطی سیستم های پک درجه آزادی با تحریر کارهارمونیک توصیف کرد.

توان مصروفی متوسط موتور (T_w) و دامنه نوسان توان مصروفی ($\varphi_2 = \bar{\varphi}_2$) $= \sqrt{A_2^2 + B_2^2} \text{ rad}$ بر حسب سرعت دوران موتور در شکل ۵ نشان داده است. مشاهده می شود که در بسامد طبیعی سیستم، این دو مقدار ناگهان افزایش یافته و پس از آن دوباره کاهش می یابند؛ اگرچه در این مورد، به دلیل نامیرانی کوچک روتور، این تغییرات چندان محسوس نیست. این امر نشانگر آن است که افزایش ارتعاشات سیستم موجب مصرف توان بیشتری نیز می شود. شکل ۵ همچنین نشان می دهد که در دورهای بالا، با افزایش سرعت دوران و درنتیجه بسامد ارتعاشات سیستم، توان مصروفی سیستم تدریجاً افزایش می یابد. به عبارت دیگر اگرچه در بسامد های بالا دامنه نوسان کوچک است، اما توان مستهلك شده توسط میراگر و یسکوز قابل توجه است.

در ادامه، با ثابت نگه داشتن جرم کلی دیسک ($M_d = 0,05 \text{ kg}$)، جرم نامیران متصول به آن به $m_2 = 0,02 \text{ kg}$ افزایش داده شده و دستگاه معادلات دیفرانسیل سیستم با روش هارمونیک بالاتس و با مفروضات پیش گفته مجدد حل شد. بدینه است در این حالت جرم کلی سیستم و درنتیجه بسامد طبیعی آن ثابت می ماند. در شکل ۶ تغییرات بسامد نوسان سیستم بر حسب گشتاور موتور نشان داده شده است. در این شکل خط تپر نشانگر بخش پایدار و خطچین نشانگر بخش ناپایدار پاسخ است. چنان که مشاهده می شود با افزایش سرعت دوران موتور و در نزدیکی های بسامد طبیعی سیستم، رابطه گشتاور - سرعت از حالت خطی خارج می شود و با وجود افزایش قابل توجه گشتاور، سرعت دوران و درنتیجه بسامد

و شعاع R بوده و کاملاً بالاتس است، اما جرم متمرکز m_2 در فاصله d از مرکز دیسک به آن وصل شده است. در این صورت:

$$M_d = m_1 + m_2, \quad r = m_2 d / (m_1 + m_2), \\ J_C = m_1 R^2 / 2 + m_2 d^2. \quad (7)$$

در تمام حل های عددی ارائه شده، مقادیر فیزیکی و هندسی داده شده عبارت است از:

$$M_b = M_d = 0,05, \quad k_b = 100, \quad c_b = 0,2, \\ c_m = 0,1, \quad R = d = 0,05 \quad (8)$$

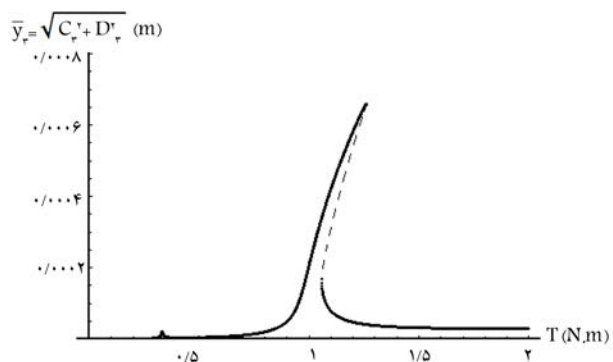
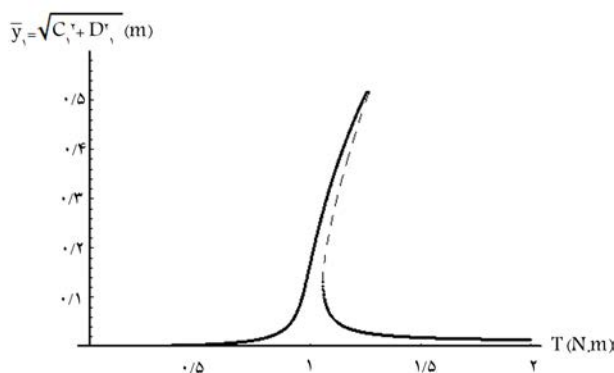
در ابتدا دیسک دارای نامیرانی کوچک $\bar{\varphi}_2 = 0,05 \text{ rad}$ فرض شده است. در شکل ۳ بسامد زاویه بی دوران دیسک (که بسامد اصلی ارتعاشات سیستم است) و دامنه نوسان آن بر حسب گشتاور موتور در هارمونی دوم ($\bar{\varphi}_2 = \sqrt{A_2^2 + B_2^2} \text{ rad}$) نشان داده شده است (در دیگر هارمونی ها دامنه برابر صفر بوده است). چنان که مشاهده می شود با افزایش ولتاژ سرعت دوران دیسک به صورت خطی افزایش می یابد و تنها در نزدیکی $\omega = 10 \text{ rad/s}$ (که برابر بسامد طبیعی سیستم $\omega_n = \sqrt{k_b / (m_b + m_d)}$ است)، انگشت از حالت خطی دیده می شود.

باید توجه داشت چون نتایج ارائه شده برای حالت پاسخ پایدار سیستم به دست آمده، این نتایج تنها زمانی می توانند معتبر باشد که افزایش ولتاژ سیستم به صورت تدریجی و شبه استاتیک انجام شده باشد. در این صورت زمان کافی برای رسیدن به حالت پایدار در اختیار سیستم قرار می گیرد. در شکل ۴ دامنه ارتعاشات پایه بر حسب گشتاور موتور در هارمونی های اول و سوم ($\bar{y}_1 = \sqrt{C_1^2 + D_1^2}$ و $\bar{y}_3 = \sqrt{C_3^2 + D_3^2}$) نشان داده شده است؛ چنان

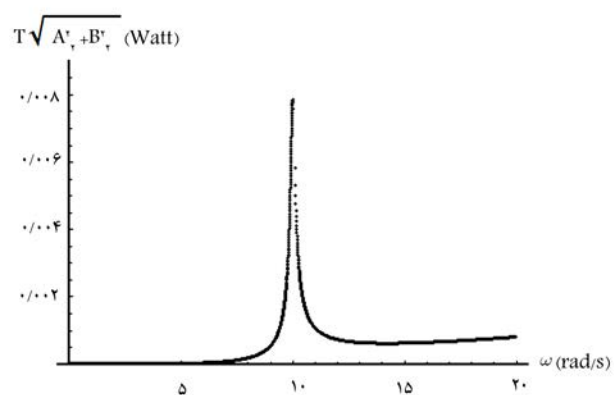
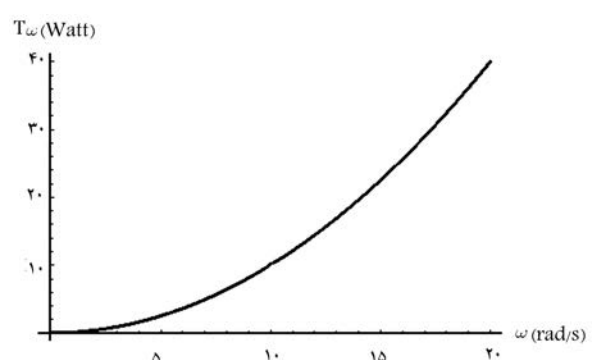
ارتعاش افزایش زیادی نمی‌باید. در این حالت می‌توان گفت که بسامد ارتعاشات سیستم روی بسامد تشدید قفل شده است؛ به عبارت دیگر پدیده‌ی قفل شدگی تشدید رخ داده است. یادآور می‌شود که از روش هارمونیک بالائس برای به دست آوردن پاسخ پایدار سیستم استفاده می‌شود؛ در هنگام استفاده از روش تعقیب، به صورت ضمنی فرض شده است که تغییرات گشتاور سیستم به صورت شبیه استاتیکی صورت می‌گیرد. چنان‌که در شکل ۶ نیز مشاهده می‌شود در بعضی از گشتاورهای اعماقی، سیستم دارای پاسخ‌های چندگانه است. درنتیجه با اعمال ضربه‌ی یا شرایط ناگهانی، رفتار سیستم می‌تواند بین دو شاخه‌ی متفاوت از جواب‌ها جهش کند. مثلاً در مورد این سیستم، یک ضربه‌ی ناگهانی می‌تواند سیستم را از حالت قفل شدگی تشدید خارج کند و سرعت دوران سیستم به مقدار پایدار بعدی افزایش باید.

در شکل ۷ تغییرات دامنه ارتعاش پایه بر حسب گشتاور موتور برای حالت نامیرانی بزرگ نشان داده شده است. چنان‌که مشاهده می‌شود، رفتار غیرخطی ارتعاشی سیستم در نزدیکی گشتاور متناظر با بسامد طبیعی سیستم کاملاً واضح بوده و در بعضی از گشتاورها، سیستم دارای جواب‌های چندگانه است و می‌تواند بین آنها جهش کند.

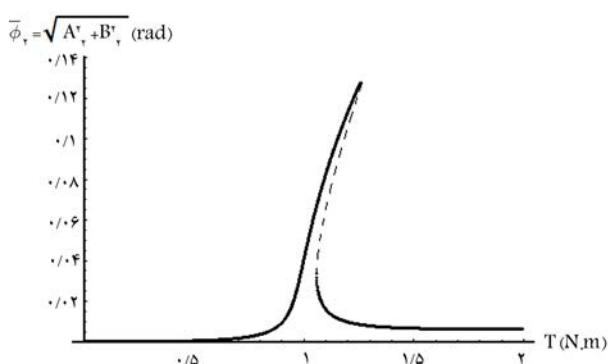
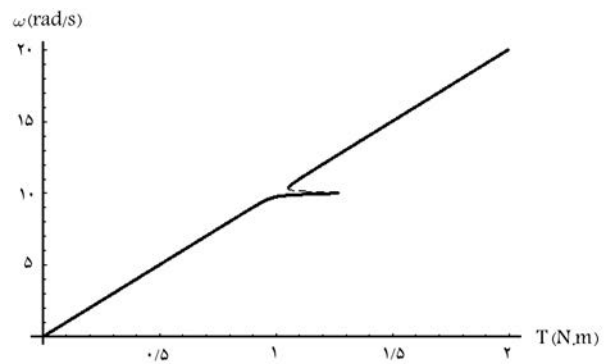
توان مصرفی موتور بر حسب سرعت دوران آن در شکل ۸ نشان داده شده است. مقایسه‌ی این شکل با شکل ۵ نشان می‌دهد که با افزایش بسامد نامیرانی، توان مصرفی موتور به صورت محلی و در محدوده‌ی قفل شدگی، نسبت به حالت قبل افزایش چشمگیری یافته است. به همین دلیل، گذر از پدیده‌ی قفل شدگی تشدید نیازمند توان زیادی است که در صورت تأمین نشدن آن، سیستم در حالت تشدید باقی می‌ماند یا آن که باید در سرعت پایین‌تری کار کند. البته راه دیگر آن است



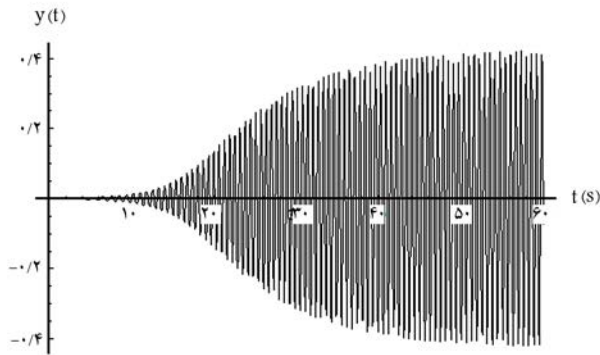
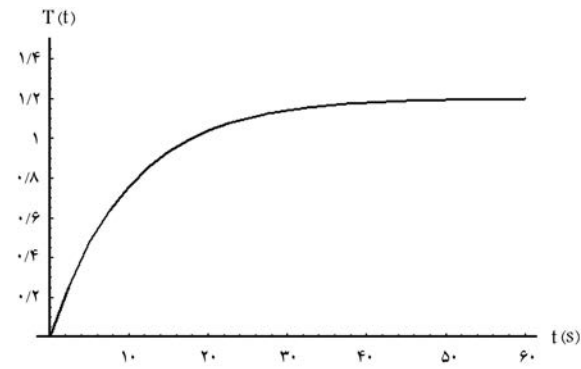
شکل ۷. دامنه ارتعاشات پایه بر حسب گشتاور موتور ($m_2 = ۰/۲$).



شکل ۵. توان مصرفی متوسط و دامنه‌ی تغییرات توان مصرفی بر حسب گشتاور موتور ($m_2 = ۰/۵$).

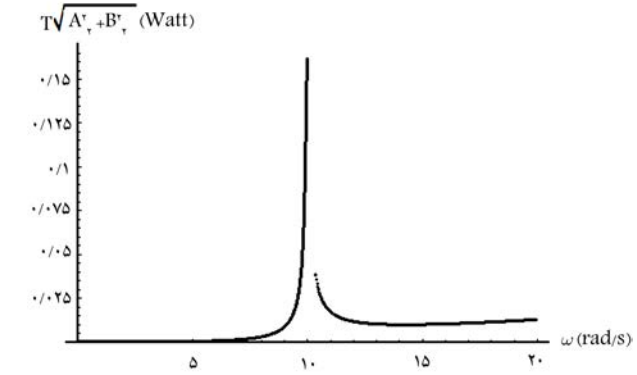
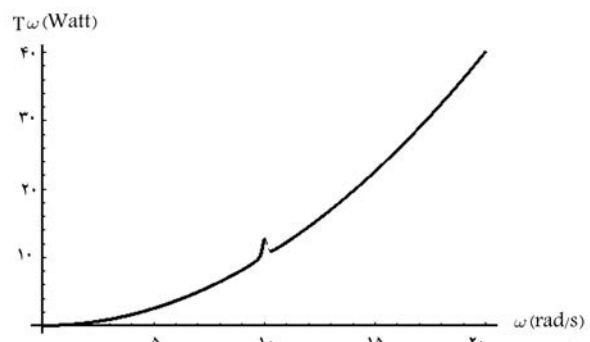


شکل ۶. سرعت دوران دیسک و دامنه‌ی نوسان سرعت بر حسب گشتاور موتور ($m_2 = ۰/۲$).



شکل ۹. گشتاور اعمال شده به موتور و ارتعاشات پایه بر حسب زمان ($m_1 = ۰, ۱$ ،
 $c_b = ۰, ۲$ و $m_2 = ۰, ۲$).

و $۰, ۵ \approx \bar{y}$ باشد تا با مقایسهٔ حل زمانی و حل پریودیک، بتوان درستی دامنه‌های پیش‌بینی شده توسط روش هارمونیک بالا انس و امکان پیده‌ی جهش در ولتاژ پیش‌بینی شده را مورد ارزیابی قرار داد. برای افزایش تدریجی ولتاژ ابتداء $۱ = ۰, ۱$ قرار داده شده است. شکل ۹ نحوهٔ تغییر گشتاور و دامنهٔ ارتعاشات پایه را در طول زمان نشان می‌دهد. ملاحظه می‌شود که دامنهٔ نوسان پایه به تدریج افزایش می‌باید تا به یک مقدار ثابت و بزرگ برسد. در ادامه برای افزایش سریع ولتاژ $۵ = ۰, ۵$ قرار داده شد. نتایج مربوط به این حالت در شکل ۱۰ نشان داده شده است. چنان که مشاهده می‌شود در این حالت دامنهٔ نوسان تقریباً به سرعت افزایش می‌باید، اما پس از مدت کوتاهی رو به کاهش نهاده و مقدار نهایی دامنه ارتعاش در مقدار کوچکی ثابت می‌شود. به عبارت دیگر ابتدا پاسخ پایدار سیستم به سمت جواب با دامنهٔ بزرگ‌تر میل کرده است، اما در میانهٔ راه جهش بین پاسخ‌های پایدار روی داده و پاسخ سیستم به سمت جواب با دامنهٔ کم‌تر میل کرده است. مقایسهٔ شکل ۷ با شکل ۹ نشان می‌دهد که مقادیر پیش‌بینی شده توسط روش هارمونیک بالا انس، با مقادیر نهایی دامنهٔ ارتعاش در حل زمانی بسیار نزدیک هم هستند. به عنوان مثال، در شکل ۷ (روش هارمونیک بالا انس) دامنهٔ ارتعاشات در هارمونی اول و در گشتاور $T = ۱, ۲ \text{ N.m}$ است، حال آن که در شکل ۹ (روش عددی) دامنهٔ پیش‌بینی شده برای ارتعاشات برابر $۰, ۴۲۸ \text{ m}$ است. به عبارت دیگر، روش هارمونیک بالا انس توانسته است رفتار سیستم را در حالت پایدار با دقت بسیار خوبی پیش‌بینی کند. از این رو می‌توان این روش را در مطالعه‌ی پارامترها یا سازوکارهای پیشنهادی دیگر برای گذر از قفل شدگی تشدید مورد استفاده قرار داد.



شکل ۸. توان مصرفی متوسط و دامنهٔ تغییرات توان مصرفی بر حسب سرعت موتور ($m_2 = ۰, ۲$).

که گشتاور موتور به صورت تدریجی افزایش نیابد، بلکه در همان ابتدا در بیشترین مقدارش اعمال شود یا آن که به سرعت بیشینه شود تا با اعمال حالتی شبیه به ضربه، امکان جهش از حالت با ارتعاشات بزرگ به حالت پایدار دیگر که دارای ارتعاشات کوچکتری است، فراهم شود (شکل ۷). در ادامه برای صحه‌گذاری برنتایج به دست آمده، معادلات دیفرانسیل حرکت به روش عددی نیز برای حالت دوم از سه حالت فوق حل می‌شود.

۴. شبیه‌سازی عددی

برای تأیید نتایج به دست آمده از روش هارمونیک بالا انس، معادلات دیفرانسیل ۲ و ۴ ابتدا به فضای حالت منتقل شده است. سپس با اعمال گشتاور خارجی، تغییرات زمانی موقعیت پایه و زاویهٔ دوران دیسک به دست آمده است. در این شبیه‌سازی از مقادیر عددی ارائه شده در رابطهٔ ۸ استفاده شده و جرم نامیزان و ضربیت میرابی ویسکوز پایه نیز به ترتیب برابر $m_1 = ۰, ۲$ و $c_b = ۰, ۲$ قرار داده شده است. همچنین فرض بر آن است که گشتاور موتور تدریجاً و به صورت نمایی بیشینه می‌شود، به گونه‌ی که از رابطهٔ ۹ تبعیت کند:

$$T_v = T_f (1 - e^{-st}) \quad (9)$$

که در آن T_f و s به ترتیب گشتاور نهایی و نرخ افزایش گشتاور است. در این شبیه‌سازی فرض بر آن است که $T_f = ۱, ۲$ و سیستم در ابتدای شبیه‌سازی در حالت سکون باشد. مقدار گشتاور نهایی با توجه به شکل ۷ و به‌گونه‌ی انتخاب شده که سیستم دارای دو پاسخ پایدار و متفاوت $\bar{y} \approx ۰, ۴۶$

سیستم قرار داده شده است که می‌تواند آزادانه دوران کند. استفاده از این دیسک بدان منظور است که بتواند با ارتعاشات خود، نظم ارتعاش پایه را به هم بزند. در حقیقت با ارتعاش پایه، این دیسک نیز به حرکت درمی‌آید و شروع به جذب انرژی می‌کند. اگر حرکت‌های دیسک نامنظم باشد، نظم ارتعاش پایه را برهم خواهد زد. اگر حرکت دیسک العاقی منظم اما در فاز مخالف دیسک اصلی باشد، همانند یک جرم العاقی، بالанс سیستم و درنتیجه کاهش دامنه ارتعاش را به عهده خواهد گرفت. اما اگر حرکات آن منظم و هم‌فاز با جرم نامیران اصلی باشد، باعث افزایش دامنه ارتعاش و دشواری گذراز بسامد بحرانی خواهد شد. در این حالت نیز می‌توان با استفاده از روش‌های هوشمند تنها در زمان قفل شدگی شدید به دیسک اجازه حرکت داد و در دیگر زمان‌ها با بستن دیسک، از حرکت آن جلوگیری کرد.

با اضافه شدن یک دیسک نامیران، معادلات حرکت سیستم (روابط ۲ و ۴) را می‌توان چنین بازنویسی کرد:

$$m_b \ddot{y} + c_b \dot{y} + k_b y + m_{d1} (\ddot{y} + r_1 \dot{\varphi}_1 \cos(\varphi_1) - r_1 \dot{\varphi}_1^2 \sin(\varphi_1)) + m_{d2} (\ddot{y} + r_2 \dot{\varphi}_2 \cos(\varphi_2) - r_2 \dot{\varphi}_2^2 \sin(\varphi_2)) = 0 \quad (10)$$

$$J_{C1} \ddot{\varphi}_1 + c_{m1} \dot{\varphi}_1 + m_{d1} \ddot{y} r_1 \cos(\varphi_1) - T = 0 \quad (11)$$

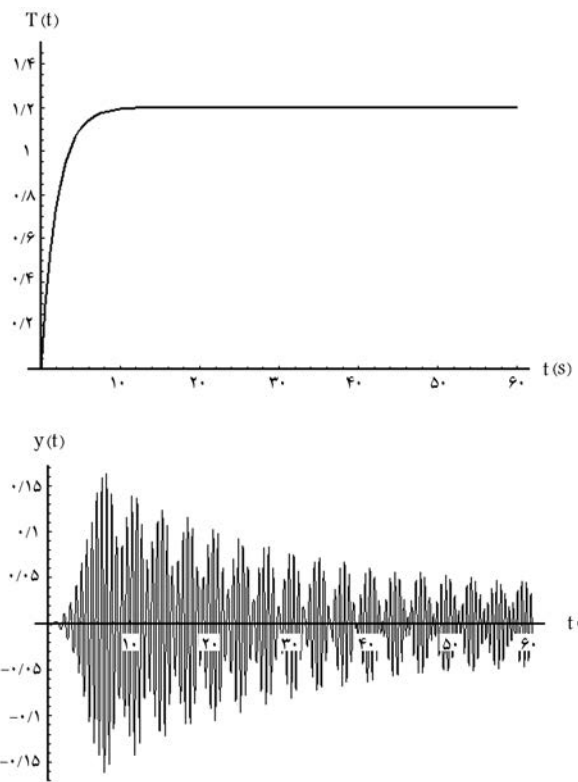
$$J_{C2} \ddot{\varphi}_2 + c_{m2} \dot{\varphi}_2 + m_{d2} \ddot{y} r_2 \cos(\varphi_2) = 0 \quad (12)$$

که در آن φ_1 و J_{C2} به ترتیب زاویه‌ی دوران دیسک العاقی و گشتاور قطبی جرم حول مرکز دیسک هستند. $D_{d1} = J_{G1} + M_{d1} r_1^2$ و $J_{C1} = J_{G2} + M_{d2} r_2^2$. حل‌های زمانی نشان می‌دهند بسته به شرایط اولیه و مقدار نامیرانی، دیسک آزاد ممکن است بچرخد و نوسان کند و یا بدون چرخش نوسان کند. در ادامه برای بررسی اثر نامیرانی دیسک آزاد بر ارتعاشات سیستم، ابتدا یک حل کلی برای مسئله در نظر گرفته شده است:

$$\begin{aligned} \varphi_1 &= \omega t + A_1 \sin(\omega t) + B_1 \cos(\omega t) + A_2 \sin(2\omega t) + B_2 \cos(2\omega t) \\ &\quad + A_3 \sin(3\omega t) + B_3 \cos(3\omega t) + \dots \\ y &= y_0 + C_1 \sin(\omega t) + D_1 \cos(\omega t) + C_2 \sin(2\omega t) + D_2 \cos(2\omega t) \\ &\quad + C_3 \sin(3\omega t) + D_3 \cos(3\omega t) + \dots \\ \varphi_2 &= \varphi_0 + \omega t + P_1 \sin(\omega t) + Q_1 \cos(\omega t) + P_2 \sin(2\omega t) \\ &\quad + Q_2 \cos(2\omega t) + P_3 \sin(3\omega t) + Q_3 \cos(3\omega t) + \dots \end{aligned} \quad (13)$$

که در آن فرض شده است که دیسک آزاد به دلیل ارتعاشات پایه، شروع به دوران می‌کند و سرعت دوران آن برابر است، اما نسبت به دیسک اصلی دارای اختلاف فاز φ است. امکان وجود چنین پاسخی با استفاده از حل‌های عددی در فضای زمان تأیید شده است. حل‌های عددی نشان می‌دهند در نامیرانی‌های کوچک برای به چرخش درآمدن دیسک العاقی باید شرایط اولیه‌ی مناسب وجود داشته باشد. اما در نامیرانی‌های بزرگ به دلیل ارتعاشات بزرگ پایه، دیسک العاقی بسامدگی می‌تواند به چرخش درآید. در این بخش برای اجرای روش هارمونیک بالанс، فرض شده است که دیسک‌ها با سرعت تقریباً ثابت بچرخدند و دامنه‌ی نوسان آنها ناچیز باشد:

$$\begin{aligned} \cos(\varphi_1) &\approx \cos(\omega t), & \sin(\varphi_1) &\approx \sin(\omega t), \\ \cos(\varphi_2) &\approx \cos(\omega t + \varphi_0), & \sin(\varphi_2) &\approx \sin(\omega t + \varphi_0). \end{aligned} \quad (14)$$



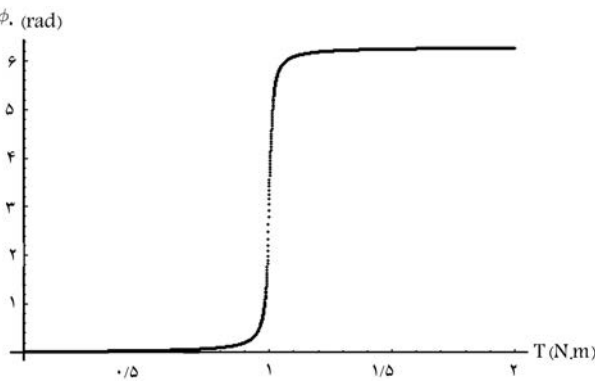
شکل ۱۰. گشتاور اعمال شده به موتور و ارتعاشات پایه بر حسب زمان $t = 0, 2, 4, 5, 10, 20, 30, 40, 50, 60$ و $m_2 = 0, 2$ و $c_b = 0, 5$.

۵. کنترل ارتعاشات با افزودن یک دیسک نامیران آزاد

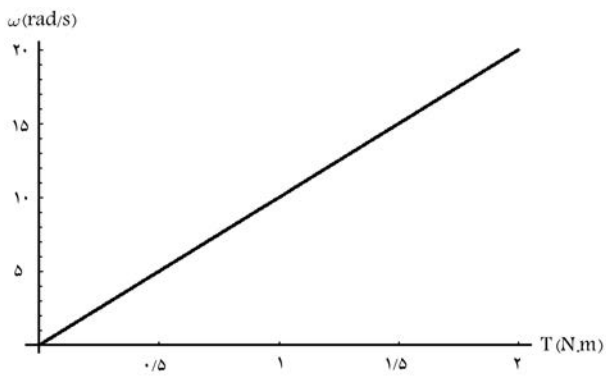
چنان‌که در بخش قبل دیده شد در نزدیکی بسامد طبیعی، سیستم دارای پاسخ‌های چندگانه با دامنه‌های ارتعاشی متفاوت است. در هنگام راهنمایی سیستم، اگر توان موتور کم باشد سرعت دوران دیسک تدریجاً و به‌گونه‌ای افزایش می‌یابد و با نزدیک شدن به محدوده‌ی بسامد طبیعی (دور بحرانی)، دامنه ارتعاشی سیستم به شدت افزایش می‌یابد و با مصرف کردن توان موتور، امکان افزایش سرعت را از آن می‌گیرد. در واقع در این حالت سیستم با وجود امکان پاسخ‌های متفاوت، در حالت پاسخ با دامنه‌ی بزرگ قرار می‌گیرد. برای گذر از این حالت یا باید سازوکار تغیری بی‌دیگر، دامنه و آهنگ ارتعاش — حتی برای مدتی محدود — برهم زده شود تا با کاهش دامنه ارتعاش، توان موتور صرف افزایش دور و گذر از حالت بحرانی شود.

به عنوان یک ایده، می‌توان از یک جرم و فنر متصل شده به پایه به عنوان جاذب ارتعاشی استفاده کرد. جرم و سختی سیستم العاقی را می‌توان به‌گونه‌یی انتخاب کرد که در بسامد بحرانی قابلی سیستم، سیستم العاقی به صورت کامل ارتعاشات پایه را جذب کند و درنتیجه موتور بتواند به سادگی از این دور بگذرد. اما افزودن چنین سیستمی باعث ایجاد دو بسامد طبیعی جدید برای سیستم، پیرامون بسامد طبیعی قابلی می‌شود و این امکان به وجود می‌آید که در هر یک از این بسامدهای جدید سیستم دچار قفل شدگی شدید شود. در چنین حالتی می‌توان از سازوکارهای هوشمند استفاده کرد و حرکت سیستم العاقی را در نزدیکی بسامد مورد نظر آزاد گذارد و در دیگر بسامدها آن را در حالت قفل یا بسته نگه داشت.

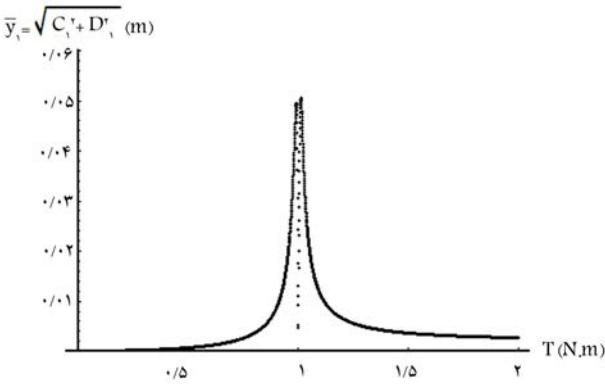
در این بخش برای ایجاد یک سازوکار تغیری، یک دیسک نامیران دیگر روی



شکل ۱۲. اختلاف فاز بین دیسک اصلی و دیسک الحاقی ($m_{12} = m_{22} = ۰,۰۲$)



$\bar{\phi}_{rr} = \sqrt{A_r^r + B_r^r}$ (rad)



شکل ۱۳. دامنه نوسان پایه ($m_{12} = m_{22} = ۰,۰۲$).

نمی‌شود. همچنین در نزدیکی گشتاور مربوط به دور بحرانی ($T = ۱$ N.m)، دو دیسک در فار مقابله هم قرار گرفته‌اند ($\pi = ۰,۰۲$). دامنه نوسان دچار آنتی‌تشدید شده و به شدت کاهش یافته است. به عبارت دیگر، در این گشتاور دو دیسک در فار مخالف هم قرار گرفته و ضمن میزان کردن مجموعه، بدون نوسان و با سرعت ثابتی می‌چرخند. با افزایش گشتاور اعمالی به مقادیر بزرگ‌تر، اختلاف فاز دو دیسک به ۲π افزایش می‌یابد و نامیزانی دو دیسک با هم جمع می‌شود. شبیه‌سازی عددی نشان می‌دهد که در صورت وجود شرایط اولیه مناسب، امکان چنین جوابی وجود دارد.

در شبیه‌سازی دوم، دو دیسک با نامیزانی کوچک و متفاوت $m_{12} = ۰,۰۴$ kg و $m_{22} = ۰,۰۲$ kg در نظر گرفته شده است. در این شبیه‌سازی فرض نیز وجود دارد و در حالت پایدار این دیسک نیز با سرعت دیسک اصلی دوران می‌کند. بنابراین پاسخ سیستم مطابق رابطه ۱۳ در نظر گرفته شده است. در شکل ۱۴ سرعت دوران و دامنه نوسان دیسک اصلی بر حسب گشتاور اعمالی در حالت پایدار نشان داده است. در شکل‌های ۱۵ و ۱۶ نیز اختلاف فاز بین دو دیسک و دامنه جابه‌جاوی پایه نشان داده شده است. مطابق شکل ۱۴، در نزدیکی بسامد طبیعی (دور بحرانی) اندکی انحراف از حالت خطی در منحنی گشتاور - سرعت زاویه‌یی دیده می‌شود. همچنین با توجه به این شکل در گشتاور مربوط به این سرعت زاویه‌یی، دامنه نوسان سرعت دچار تشدید شده و به بیشترین مقدار خود می‌رسد و دیگر مانند حالت قبل دیسک‌ها با سرعت ثابت نمی‌چرخند.

با توجه به شکل ۱۶، در نزدیکی دور بحرانی دامنه نوسان دچار تشدید شده

شکل ۱۱. سرعت دوران دیسک و دامنه نوسان سرعت بر حسب گشتاور موتور ($m_{12} = m_{22} = ۰,۰۲$).

برای شبیه‌سازی نامیزانی دیسک‌ها نیز فرض شده است که دیسک‌های اول و دوم به ترتیب دارای جرم میزان m_{11} و m_{21} ، شعاع R_1 و R_2 ، و جرم نامیزان m_{12} و m_{22} در فاصله‌ی d_1 و d_2 از مرکز باشند، و در نتیجه:

$$\begin{aligned} M_{d1} &= m_{11} + m_{12}, & M_{d2} &= m_{21} + m_{22}, \\ r_1 &= m_{12}d_1/(m_{11} + m_{12}), & r_2 &= m_{22}d_2/(m_{21} + m_{22}), \\ J_{C1} &= m_{11}R_1^2/2 + m_{12}d_1^2, & J_{C2} &= m_{21}R_2^2/2 + m_{22}d_2^2, \\ \bar{J}_A &= M_b L_b^2/3 + M_{d1}L_b^2 + M_{d2}L_b^2. \end{aligned} \quad (15)$$

در تمام شبیه‌سازی‌هایی که در ادامه می‌آید، از کمیت‌های متريک و مقادیر عددی زير استفاده شده است:

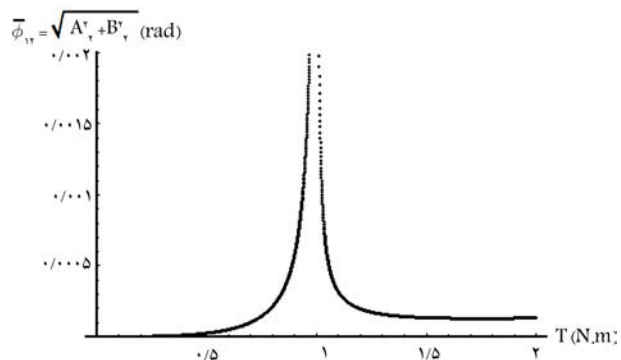
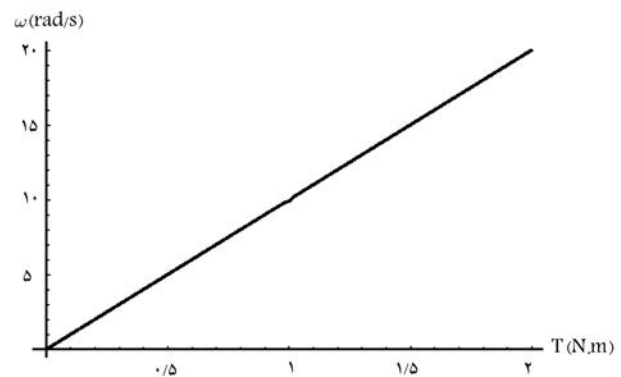
$$M_{d1} = M_{d2} = ۰,۲۵ \text{ kg}, \quad M_b = ۰,۵ \text{ kg}, \\ R_1 = R_2 = d_1 = d_2 = ۰,۰۵ \text{ m}$$

در نخستین شبیه‌سازی فرض شده که دو دیسک دارای جرم نامیزان یکسان و کوچک $m_{12} = m_{22} = ۰,۰۲$ kg باشند. سپس با حل معادلات جبری به دست آمده از روش هارمونیک بالا نس، پارامترهای مجهول رابطه ۱۳ محاسبه شده اند. شکل ۱۱ سرعت دوران و دامنه نوسان دیسک اصلی را بر حسب گشتاور اعمالی در حالت پایدار نشان می‌دهد. در شکل‌های ۱۲ و ۱۳ نیز اختلاف فاز بین دو دیسک و دامنه جابه‌جاوی پایه نشان داده شده است. با توجه به شکل‌های ۱۱ تا ۱۳ ملاحظه می‌شود که در این حالت سرعت دوران دیسک به صورت کاملاً خطی و با تغییر ولتاژ افزایش یافته و همچگونه تغییر رفتاری در نزدیکی بسامد طبیعی ($\omega_n = ۱۰$ rad/s) دیده

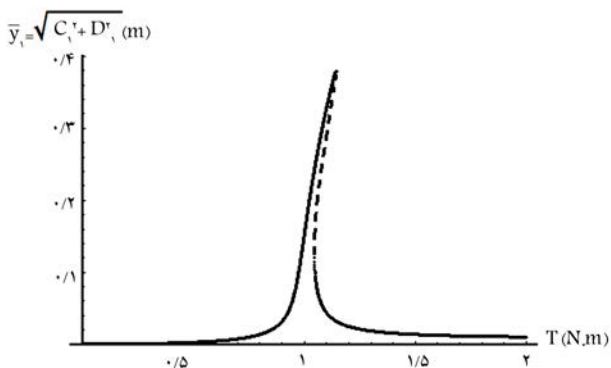
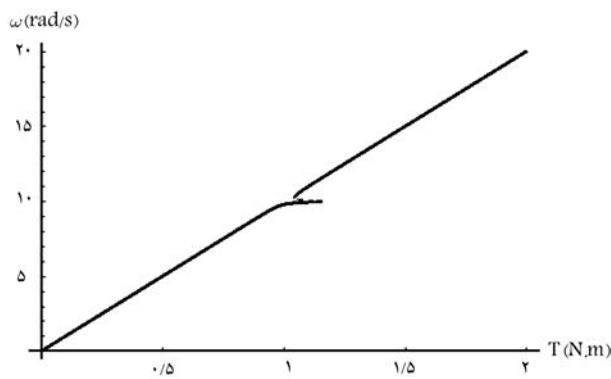
و به بیشترین مقدار خود می‌رسد. شکل ۱۵ دلیل این موضوع را به خوبی شرح می‌دهد. با توجه به این شکل، و با نزدیک شدن به دور بحرانی، اختلاف فاز بین زاویه‌ی دوران دو دیسک به $\pi/2$ می‌رسد و در سرعت‌های بالاتر از آن اختلاف فارین دوران دو دیسک به سمت π می‌کند. بنابراین، در سرعت‌های بالاتر از آن، دور بحرانی دیسک الحاقی ارتعاشات را تقویت می‌کند و در سرعت‌های بالاتر از آن، نقش تضعیف ارتعاشات را به عهده می‌گیرد. درنتیجه در این حالت آتشی تشید در نتایج دیده نمی‌شود. در نامیرانی‌های کوچک، چنین رفتاری برای هر مقدار دیگری از نامیرانی جرم الحاقی، به جز حالتی که نامیرانی جرم الحاقی با جرم اصلی یکسان است، دیده نمود.

در ادامه، نامیرانی جرم اصلی به مقدار بزرگ $m_{12} = 0,15$ افزایش داده شده تا امکان قفل‌شدگی تشید در ارتعاشات سیستم به وجود آید. برای بررسی اثر جرم نامیران الحاقی، یک بار $m_{22} = 0,15$ و بار دیگر $m_{22} = 0,02$ قرار داده شده است. در حالت اول دیسک الحاقی کاملاً بالانس است و ارتعاشات پایه نمی‌تواند باعث دوران آن شود. این حالت معادل آن است که دیسک الحاقی با جرم پایه دارای اتصال صلب باشد. در شکل ۱۷ تغییرات سرعت دوران دیسک اصلی و دامنه‌ی ارتعاشات پایه برای حالت اول نشان داده شده است. در شکل ۱۸ نیز تغییرات سرعت دوران دیسک اصلی و دامنه‌ی ارتعاشات پایه برای حالت دوم نشان داده شده است. برای حالت دوم، اختلاف فاز بین سرعت دوران دیسک اصلی و دیسک الحاقی نیز در شکل ۱۹ نشان داده شده است.

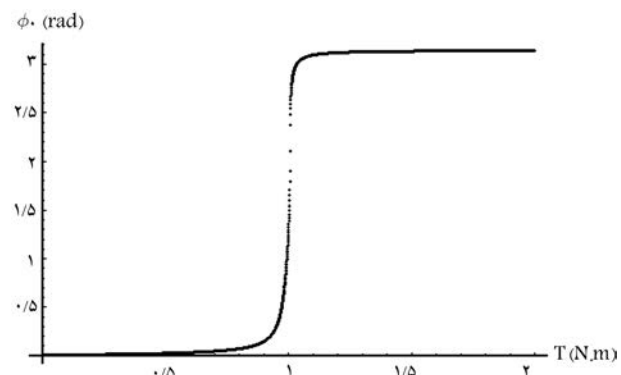
مقایسه تغییرات سرعت زاویه‌یی بر حسب گشتاور در حالت‌های اول و دوم نشان می‌دهد که در حالت اول قفل‌شدگی تشید می‌تواند تا گشتاور $T = 1,15 \text{ N.m}$ ادامه داشته باشد. اما در حالت دوم قفل‌شدگی تشید می‌تواند تا گشتاور $T = 1,11 \text{ N.m}$



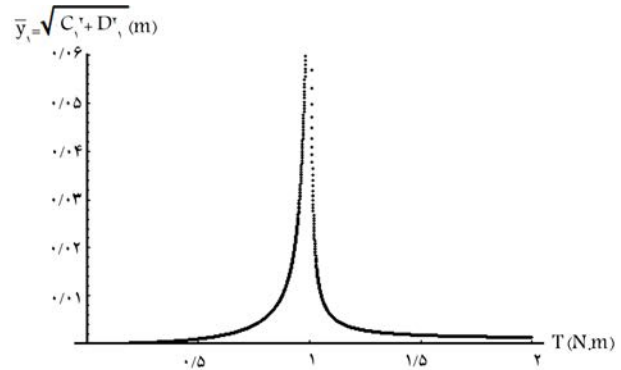
شکل ۱۴. سرعت دوران دیسک و دامنه‌ی نوسان سرعت بر حسب گشتاور موتور ($m_{22} = 0,02$ و $m_{12} = 0,15$).



شکل ۱۷. سرعت دوران دیسک و دامنه‌ی نوسان پایه بر حسب گشتاور موتور ($m_{12} = 0,15$ و $m_{22} = 0,02$).



شکل ۱۵. اختلاف فاز بین دیسک اصلی و دیسک الحاقی ($m_{12} = 0,15$ و $m_{22} = 0,02$).



شکل ۱۶. دامنه‌ی نوسان پایه ($m_{12} = 0,15$ و $m_{22} = 0,15$).

ترتیب می توان گفت در حالت پایدار و در صورت دوران دیسک در نزدیکی بسامد طبیعی، این دیسک الحاقی عملکرد مثبتی داشته و موجب محدودشدن ناچیه‌ی قفل شدگی شده، اما در نواحی دورتر از بسامد طبیعی، موجب افزایش دامنه ارتعاش پایه شده است. در عمل به دلیل وجود میلاری، دیسک آزاد نمی تواند جز در نزدیکی ناچیه‌ی تشدید که در آن دامنه ارتعاش پایه بزرگ است، به راحتی بچرخد و درنتیجه در نواحی دورتر از بسامد طبیعی اثر آن در افزایش دامنه ارتعاش مهار می شود. امکان مهار دیسک الحاقی در نواحی دورتر از بسامد طبیعی به صورت هوشمند نیز وجود دارد.

نتایجی که در اینجا ارائه شد، با این فرض به دست آمده که گشتاور اعمالی به صورت شباهستاتیکی افزایش یابد و سیستم از حالت سکون شروع به حرکت کند.

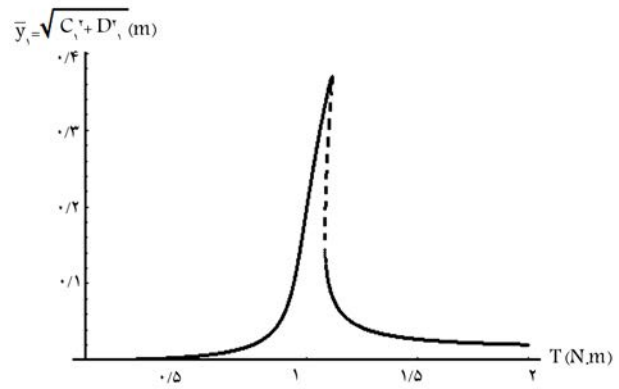
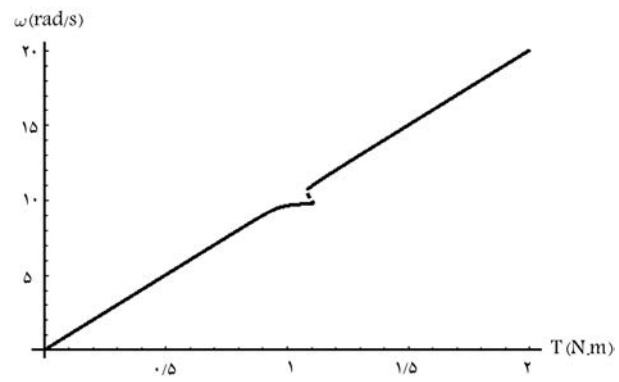
در عمل ممکن است گشتاور موتور به صورت ناگهانی به سیستم وارد شود با به صورت نمایی به سمت مقدار نهایی خود میل کند و سیستم نیز دارای شرایط اولیه صفر نباشد. در این صورت ممکن است سیستم با جهش از یک شاخه از جواب به شاخه دیگری از جواب‌ها، در گشتاورهای کمتری نیز از قفل شدگی تشدید گذر کند.

در ادامه موضعی برای بررسی تأثیر جرم الحاقی بر رفتار حالت گذراش سیستم و امکان گذر از قفل شدگی تشدید، یک مطالعه عددی صورت گرفته است. بدین منظور ابتدا معادلات حرکت ۱۰ تا ۱۲ به فضای حالت منتقل شده‌اند. سپس با فرض آن که گشتاور موتور به صورت نمایی (معادله ۹) و با نرخ $\omega = 8$ به مقدار $T_f = 1/1$ افزایش یابد، پاسخ زمانی معادلات برای مقادیر مختلف نامیرانی جرم الحاقی محاسبه شده است. در این شبیه‌سازی‌ها فرض بر آن است که در آغاز حرکت ارتعاشات پایه دارای شرایط اولیه $(y = 0)$ بوده و موتور از حالت سکون شروع به حرکت می‌کند. برای حل عددی معادلات از روش آدامز استفاده شده است و زمان شبیه‌سازی برابر 60 ثانیه در نظر گرفته شده است. از آنجا که شرایط اولیه بسیار زیادی مورد بررسی قرار گرفته و در عمل، امکان بررسی موردی تمام حل‌های زمانی وجود ندارد، برای تشخیص قفل شدگی، معیاری در نظر گرفته شده است:

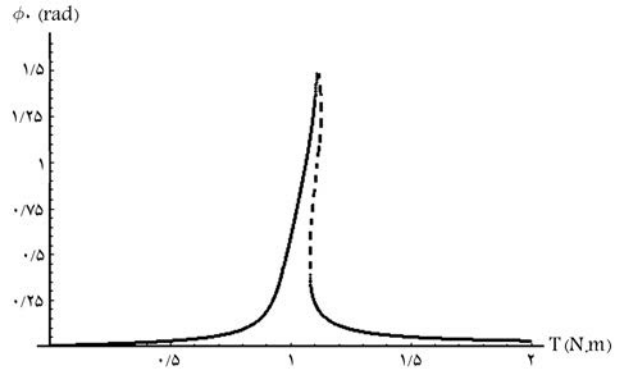
$$v = \frac{|\omega - \omega_n|}{\omega_n}, \quad \omega = \sqrt{\frac{\int_{t_s}^{t_f} \dot{y}^2 dt}{\int_{t_s}^{t_f} y^2 dt}} \quad (16)$$

که در آن v بسامد تقریبی نوسان و ω بسامد طبیعی سیستم است. اگر در رابطه‌ی ۱۶ اختلاف زمانی بین حد بالا و حد پایین انتگرال به سمت بی‌نهایت میل کند و یک تابع هارمونیک باشد، بسامد تقریبی نوسان با بسامد واقعی آن دقیقاً برابر می‌شود. در عمل اگر فاصله‌ی بین حد بالا و پایین انتگرال بیشتر از ده برابر دوره‌ی نوسان باشد، مقدار به دست آمده برای v اختلافی کمتر از ۱ درصد با مقدار واقعی آن دارد. هنگامی که سیستم دچار قفل شدگی تشدید می‌شود، بسامد نوسان تقریباً با بسامد طبیعی برابر است و انتظار می‌رود مقدار v (در رابطه‌ی ۱۶) عدد کوچکی را نشان دهد.

در این تحقیق ۱۵ ثانیه‌ی آخر شبیه‌سازی‌های عددی به عنوان حدود انتگرال رابطه‌ی ۱۶ در نظر گرفته شده، و مقدار 15° به عنوان معیار قفل شدگی انتخاب شده است. این عدد پس از مطالعه‌ی موردی چندین شبیه‌سازی عددی انتخاب شده و دارای دقت مناسبی در تشخیص قفل شدگی تشدید است. در شکل‌های ۲۰ و ۲۱ شرایط اولیه‌ی که می‌تواند موجب قفل شدگی تشدید شود، با نقاط سیاه رنگ نشان داده شده است. برای ترسیم شکل ۲۰ شرایط اولیه با گام‌های 2° و $dy = 0.2^\circ$ تغییر داده شده و ضریب میلاری و پیکوزر نیز روی محور دیسک الحاقی برابر $c_m = 0$ در نظر گرفته شده است. ملاحظه



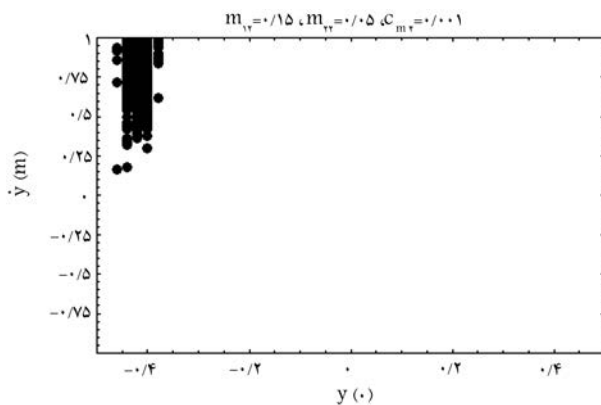
شکل ۱۸. سرعت دوران دیسک و دامنه نوسان پایه بر حسب گشتاور موتور ($m_{12} = 0, 15^\circ$ و $m_{22} = 0, 15^\circ$).



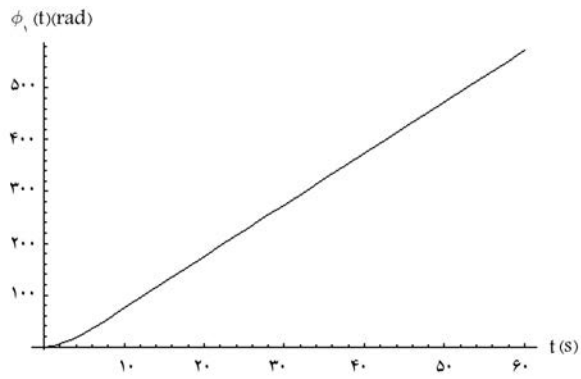
شکل ۱۹. اختلاف فاز بین دیسک اصلی و دیسک الحاقی ($m_{12} = 0, 15^\circ$ و $m_{22} = 0, 15^\circ$).

ادامه داشته باشد. به عبارت دیگر نامیرانی جرم الحاقی موجب شده است محدوده‌ی قفل شدگی تشدید کوچکتر شود.

چنان که در شکل ۱۹ مشاهده می‌شود با افزایش تدریجی گشتاور اختلاف فاز بین دو دیسک نیز به تدریج افزایش می‌یابد تا آن که در نزدیکی بسامد طبیعی (دور بحرانی)، مانند حالت نامیرانی کوچک، اختلاف فاز بین زاویه‌ی دوران دو دیسک به 2π می‌رسد. اما پس از آن و با بازشدن ناگهانی قفل شدگی تشدید، اختلاف فاز بین دو دیسک به صورت ناگهانی کاهش یافته و با افزایش بیشتر گشتاور، به سمت صفر می‌کند. درنتیجه در حالت پایدار، در بیشتر گشتاورها افزوده شدن یک دیسک الحاقی با نامیرانی برابر دیسک اصلی، موجب افزایش دامنه ارتعاشات پایه می‌شود. برخلاف شکل ۱۳، در شکل ۱۸ آنتی تشدیدی مشاهده نمی‌شود. به این



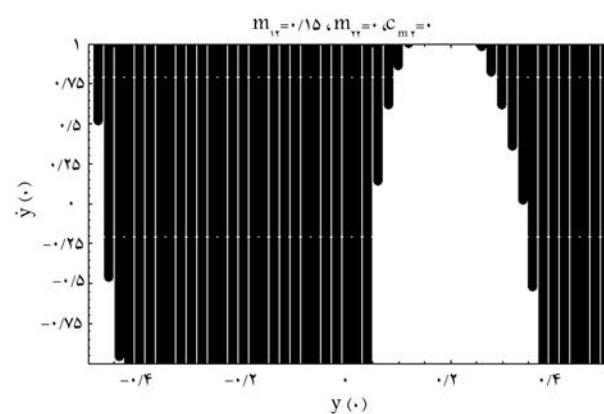
شکل ۲۱. شرایط اولیه‌یی که می‌تواند منجر به قفل شدگی تشدید شود.



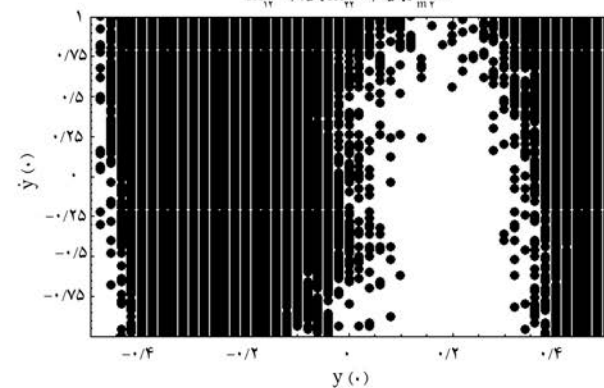
شکل ۲۲. زاویه دوران دیسک نامیزان اصلی و دامنه‌ی نوسان پایه بر حسب زمان ($T_f = 1,1\text{ s}$, $m_{12} = 0,15$, $m_{22} = 0,1$, $m_{11} = 0,1$, $m_{21} = 0,05$ و $C_m = +/+1$).

می‌شود با افزوده شدن به جرم نامیزان دیسک الحاقی، احتمال گذار از قفل شدگی تشدیدید به شکل چشمگیری افزایش یافته است. در شکل ۲۱ نیز شرایط اولیه‌یی مناسب برای قفل شدگی تشدیدید برای حالت $c_{m_2} = 0,05$ و $m_{22} = 0,005$ ترسیم شده است. در این حالت ملاحظه می‌شود وجود مقدار بسیار کمی میرایی ویسکوز روی محور دیسک الحاقی، امکان گذراز قفل شدگی را به میزان بسیار زیادی افزایش داده است. از آنجا که در ضریب میرایی $c_{m_1} = 0,05$ برای دو حالت $m_{12} = 0,15$ و $m_{22} = 0,1$ در فضای مورد بررسی، هیچ شرط اولیه‌یی یافت نشده است.

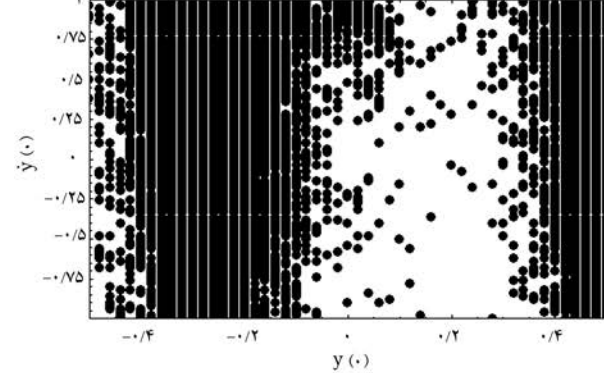
به عنوان نمونه‌یی از شبیه‌سازی‌های عددی، در شکل ۲۲ زاویه‌ی دوران دیسک اصلی و ارتعاشات پایه بر حسب زمان برای حالت بدون دیسک الحاقی و شرط



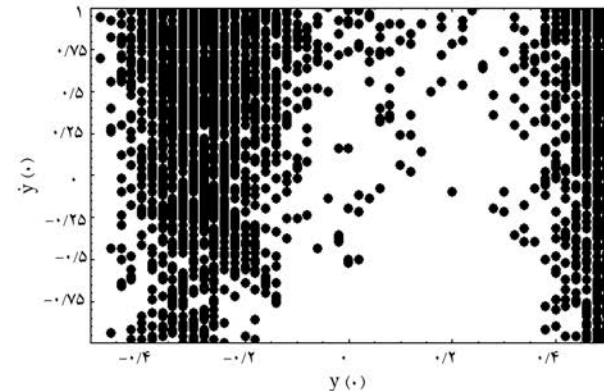
$m_1 = +/15$, $m_2 = +/10$, $C_m = +$



$m_1 = +/15$, $m_2 = +/10$, $C_m = +$



$m_1 = +/15$, $m_2 = +/10$, $C_m = +$



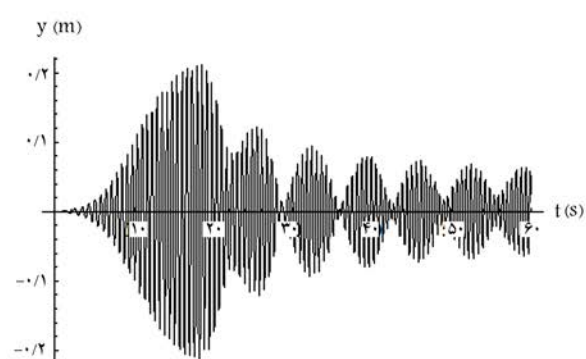
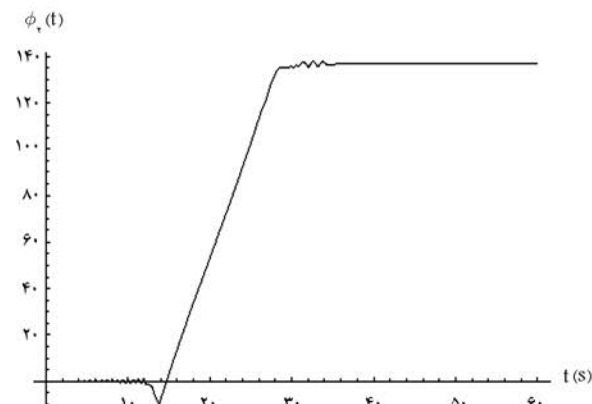
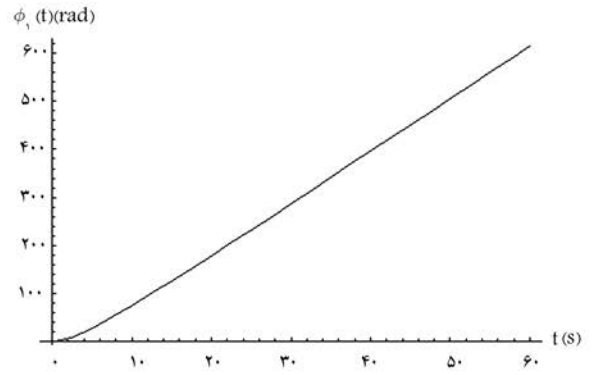
شکل ۲۰. شرایط اولیه‌یی که می‌تواند منجر به قفل شدگی تشدید شود.

اولیه‌ی صفر نشان می‌دهد. در شکل ۲۳ نیز پس از افزودن دیسک نامیران الحاقی، زاویه‌ی دوران دیسک اصلی، زاویه‌ی دوران دیسک الحاقی و دامنه‌ی ارتعاشات پایه بر حسب زمان و با شرط اولیه‌ی صفر و $m_{22} = 0, m_{11} = 0, \phi(0) = 0$ نشان داده شده است. مقایسه‌ی شکل‌های ۲۲ و ۲۳ نشان می‌دهد که پیش از اضافه شدن دیسک الحاقی نامیران، با افزایش دامنه‌ی پایه، دیسک الحاقی شروع به دوران کرده و مانع شکل‌گیری قفلشدن شده است و پس از آن با کاهش دامنه‌ی ارتعاشات پایه، این دیسک نیز به دلیل میرایی ویسکوز روی محور آن، از حرکت باز استفاده است. برای مقایسه‌ی کمی ارتعاشات نشان داده شده در شکل‌های ۲۲ و ۲۳، مقدار میانگین مجذور ارتعاشات پایه در ۱۰ ثانیه‌ی آخر محاسبه شد که برای شکل ۲۲ برابر $224 \text{ rad}^2/\text{s}^2$ و برای شکل ۲۳ برابر $373 \text{ rad}^2/\text{s}^2$ بوده است که کاهش چشمگیری را نشان می‌دهد. البته در شکل ۲۳ با افزایش زمان این عدد به مقادیر پایین‌تری نیز کاهش می‌یابد.

۶. نتیجه‌گیری

در این نوشتار ارتعاشات سیستم‌های دور نامیران روی پایه‌های کشسان مورد بحث قرار گرفت. برای این منظور ابتدا یک سیستم دور نامیران با توان محدود در نظر گرفته شد که روی یک پایه‌ی صلب قرار دارد و خود پایه نیز توسط یک فنر و میراگر ویسکوز نگه داشته شده است. سپس معادله‌های حرکت سیستم به دست آمد و به دو روش هارمونیک بالанс و حل زمانی تحلیل شدند. در این حل‌های تحلیلی و عددی، ابتدا سیستم‌هایی با نامیرانی کوچک و بزرگ را در نظر گرفته، و نشان داده شد که در نامیرانی‌های بزرگ سیستم می‌تواند دارای رفتار غیرخطی بوده و دچار پدیده قفلشدنی تشید شود. گذر از این پدیده نیازمند توان بالایی است که ممکن است نیروی محرکه‌ی سیستم قادر به تأمین آن نباشد. برای گذر از این پدیده با توان محدود، باید کاری کرد تا سازوکار شکل‌گیری این پدیده دچار تأخیر یا اختلال (هرچند به مدت محدود) شود تا با وجود توان محدود، سیستم به تدریج از سرعت بحرانی دور شود.

نتایج تحلیلی و عددی نشان داده که با افزودن یک دیسک نامیران آزاد به مجموعه، می‌توان دینامیک آن را تحت تأثیر قرار داد و شدت و تأثیرهای قفلشدنی را کاهش داد. وجود چنین دیسکی همچنین باعث می‌شود در هنگام راهاندازی مجموعه، شرایط اولیه‌ی مناسب برای شکل‌گیری قفلشدنی به طور چشمگیری محدود شود.



شکل ۲۳. زاویه‌ی دوران دیسک نامیران اصلی، دیسک نامیران الحاقی و دامنه‌ی نوسان پایه بر حسب زمان ($m_{11} = 0, m_{22} = 0, \phi(0) = 0$ و $T_f = 1,1$).

پانوشت

1. dual-spin

منابع (References)

1. Sommerfeld, A. "Beitrage zum dynamischen Ausbau der Festigkeitslehre", *Physikalische Zeitschrift*, **3**, pp. 266-286 (in German) (1902).
2. Kononenko, V.O., *Vibrating Systems with a Limited Power Supply*, Iliffe Books, London (1969).
3. Rand, R.H., Kinsey, R.J. and Mingori, D.L. "Dynamics of spinup through resonance", *Int. J. Non-Linear Mechanics*, **27**(3) pp. 489-502 (1992).
4. Dimentberg, F., McGovern, L., Norton, R.L., Chapdelaine, J. and Harrison, R. "Dynamics of an unbalanced shaft interacting with a limited power supply", *Nonlinear Dynamics*, **13**(2) pp. 171-187 (1997).
5. Haberman, R., Rand, R. and Yuster, T. "Resonant capture and separatrix crossing in dual-spin spacecraft",

- Nonlinear Dynamics*, **18**, pp. 159-184 (1999).
- 6. Zniber, A. and Quinn, D.D. "Resonance capture in a damped three-degree-of-freedom system: Experimental and analytical comparison", *International Journal of Non-Linear Mechanics*, **41**, pp. 1128-1142 (2006).
 - 7. Quinn, D.D. "Resonant dynamics in a rotordynamic system with nonlinear inertial coupling and shaft anisotropy", *Nonlinear Dynamics*, **57**, pp. 623-633 (2009).
 - 8. Gozen, S., Olson, B.J., Shaw, S.W. and Pierre, C. "Resonance suppression in multi-dof rotating flexible structures using order-tuned absorbers", *Journal of Vibration and Acoustics*, **134**(6), pp. 1-7 (2012).
 - 9. Felix, J.L., Chong, W. and Balthazar, J.M. "The non-ideal problem behavior using a dynamic vibration absorber with nonlinear essential stiffness and time-dependent damping properties", *Journal of Multi-Body Dynamics*, **227**(1), pp. 34-41 (2013).
 - 10. Shahgholi, M. and Khadem, S.E. "Stability analysis of a nonlinear rotating asymmetrical shaft near the resonances", *Nonlinear Dynamics*, **70**, pp. 1311-1325 (2012).
 - 11. Shahgholi, M. and Khadem, S.E. "Hopf bifurcation analysis of asymmetrical rotating shafts", *Nonlinear Dynamics*, **77**(4), pp. 1141-1155 (2014).
 - 12. Gonçalves, P.J.P., Silvera, M. and Pontes Jr., B.R. "Numerical and experimental investigation of a vibration system with non-ideal vibration source", *Proceedings of the 9th International Conference on Structural Dynamics*, EURODYN 2014, Porto, Portugal, (30 June - 2 July 2014).